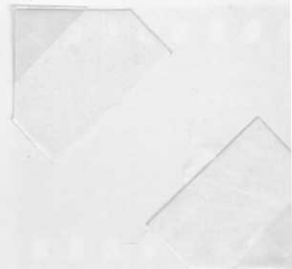
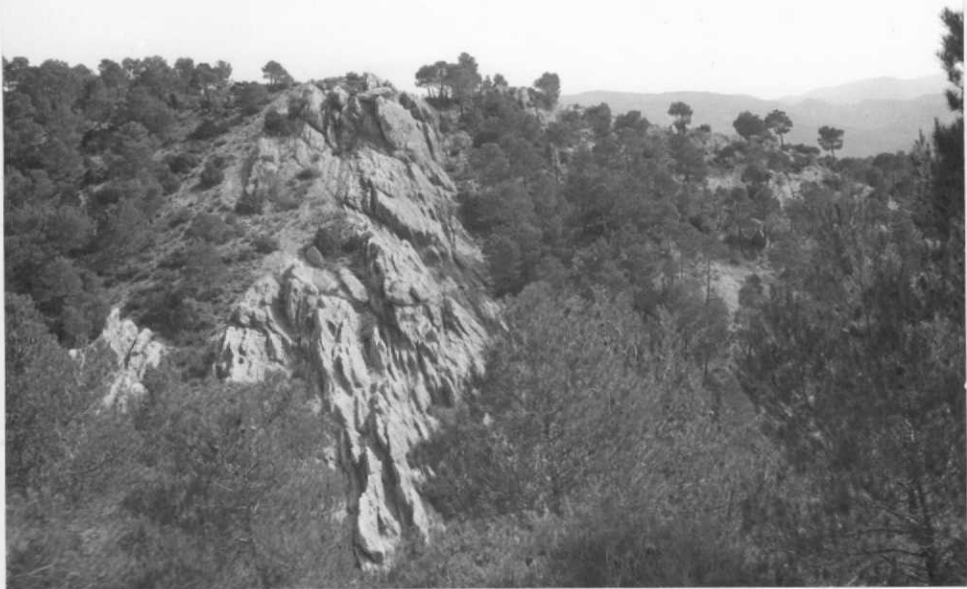


29-20-AD-RP-581.- Sinclinal terciario, cabalgado por su flanco S, por el Gargasiense. Cc_{15}^2



29-20-AD-RP-591.- Contacto entre Terciario, a la izquierda, y Gar-
gasiente, a la derecha.

T^A₃ - B
31-1

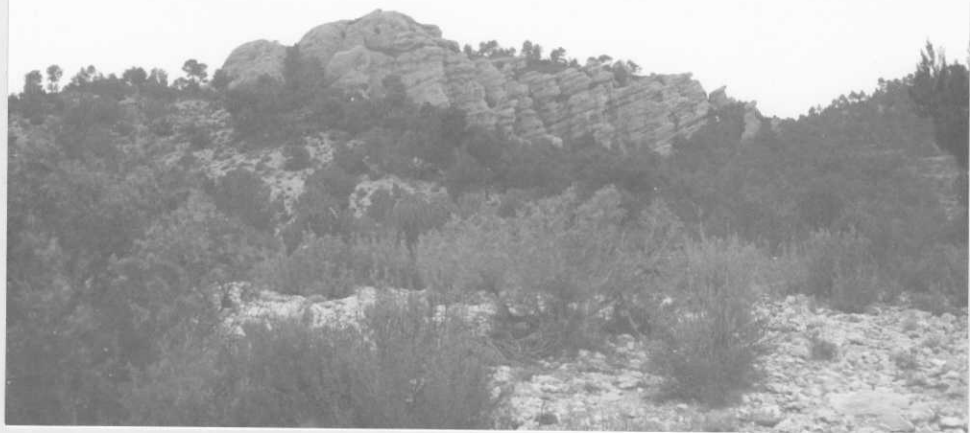
Cc²₁₅



29-20-AD-RP-592.- Contacto entre el Terciario, [↑] a la derecha, y el Gargasiense, [↑] a la izquierda.

TA₃-B
31-1

CC²₁₅



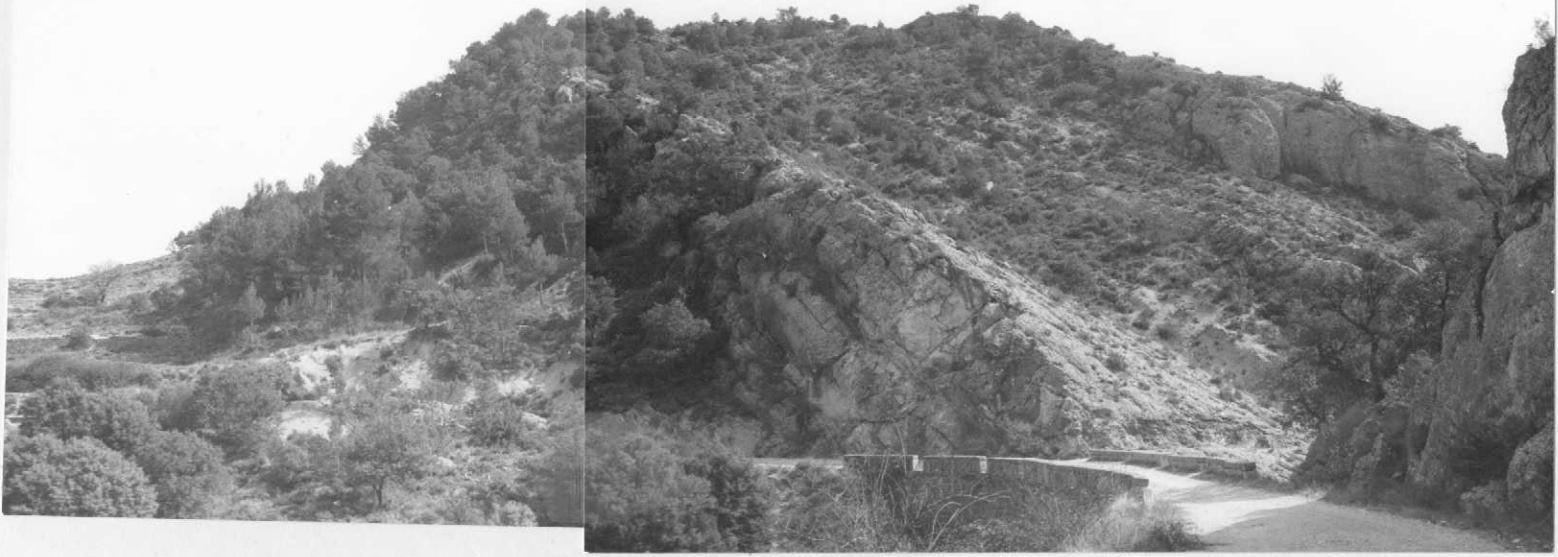
29-20-AD-RP-600.- Sinclinal en conglomerados terciarios. $T A_3 - B$
31-1



29-20-AD-RP-601.- Otra vista del mismo sinclinal.



29-20-AD-RP-605. - Discordancia de Terciario, sobre Cretácico inferior. C_{15}^2
T A_{3-1}^B

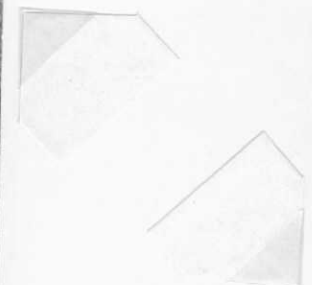
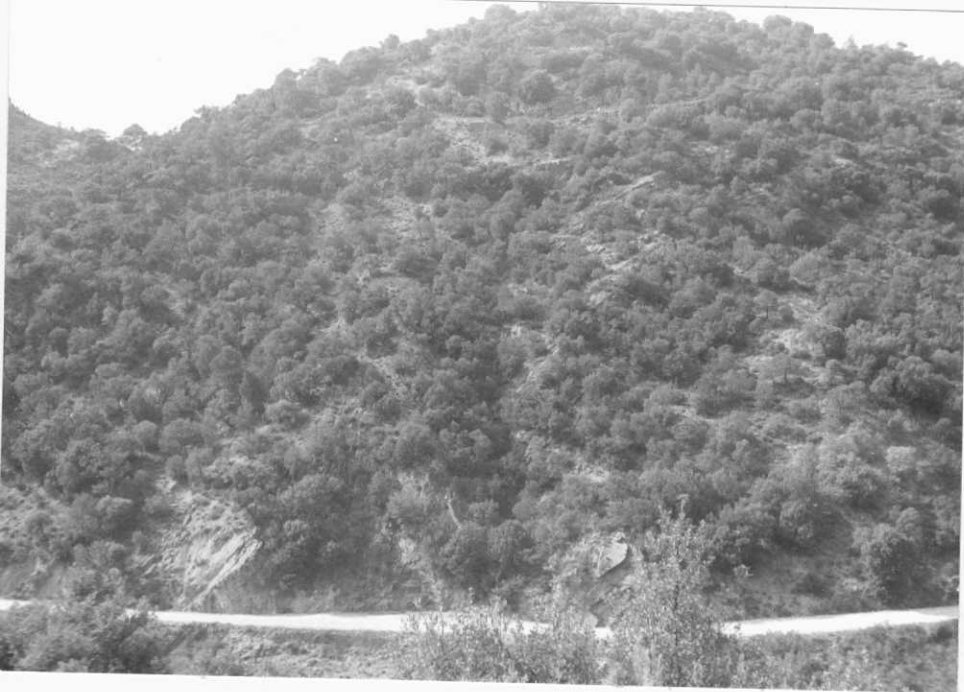


C_{15}^1

29-20-AD-RP-608.- Serie aptiense: margas \downarrow con plicátula a la izquierda, caliza gargasiense de Touca-
sia, y conglomerados terciarios discordantes, al fondo.

C_{15}^2

T $A_3 - B$
31 - A



29-20-AD-RP-609.- Repliegues en la serie calcárea beduliense. C⁰⁻¹
14-15



29-20-AD-RP-619.- Conglomerado mioceno. ^AVéase su tremenda potencia.

T A - B
33-1



29-20-AD-RP-623.- Conglomerado terciario discordante sobre calizas portlandienses.

$T_{31-1}^{A_3-B}$



29-20-AD-RP-647.- Anticlinal en Hauteriviense. C₁₃₋₁₄



29-20-AD-RP-761.- Cerros testigo, de conglomerados miocenos. T₃₃₋₁^{A-B}



C₂₁₋₂₆

T₃₁₋₁
A₃₋₈

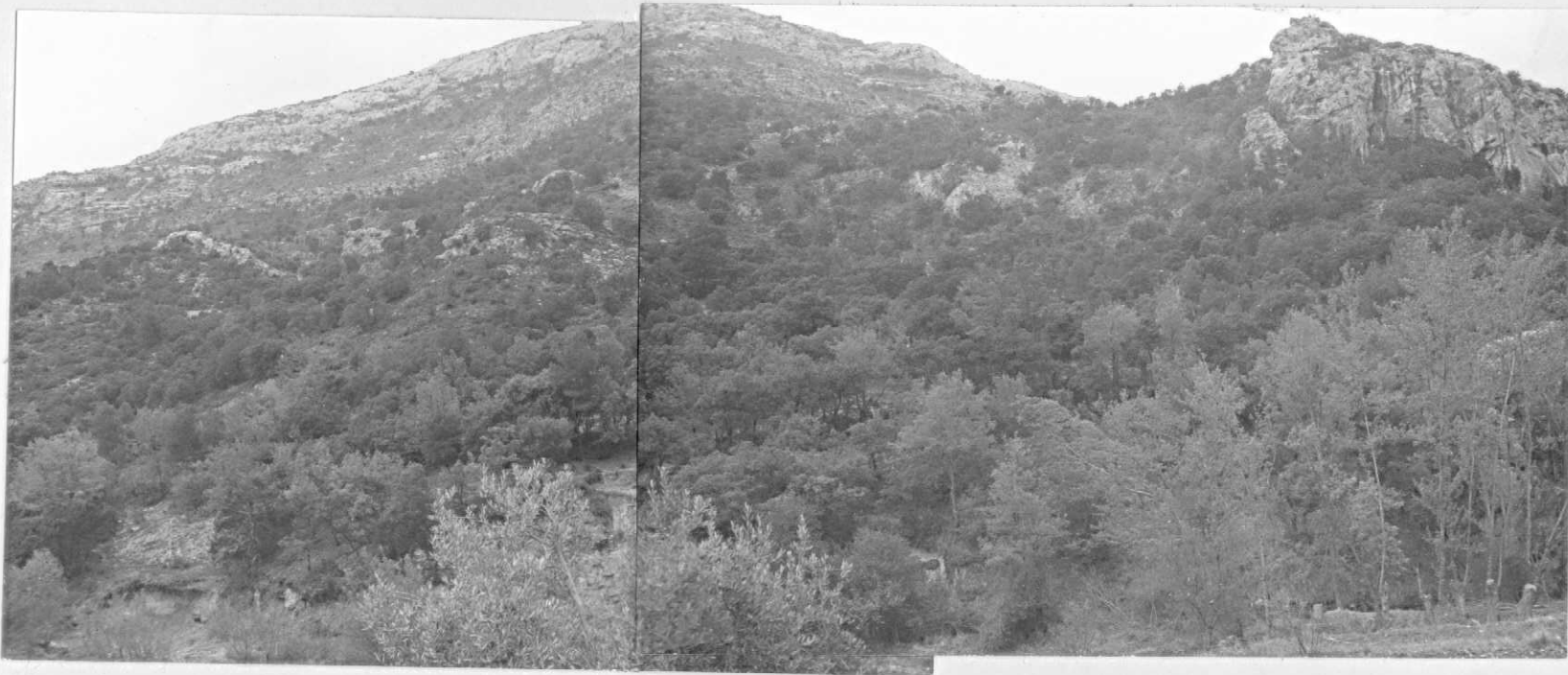
29-20-AD-RP-764.- Contacto entre Cenomanense, Senoniense y Terciario (en el fondo del barranco).
C₂₃₋₂₆



29-20-AD-RP-765.- Repliegues en el Cenomanense. C₂₃₋₂₆



29-20-AD-RP-773.- Cerro testigo (el mismo de la foto 761), de con
glomerados miocénicos. T^{A-B}
33-1



29-20-AD-RP-788.- Cretácico superior cabalgando sobre el Terciario. Al fondo una segunda masa cabalgante.

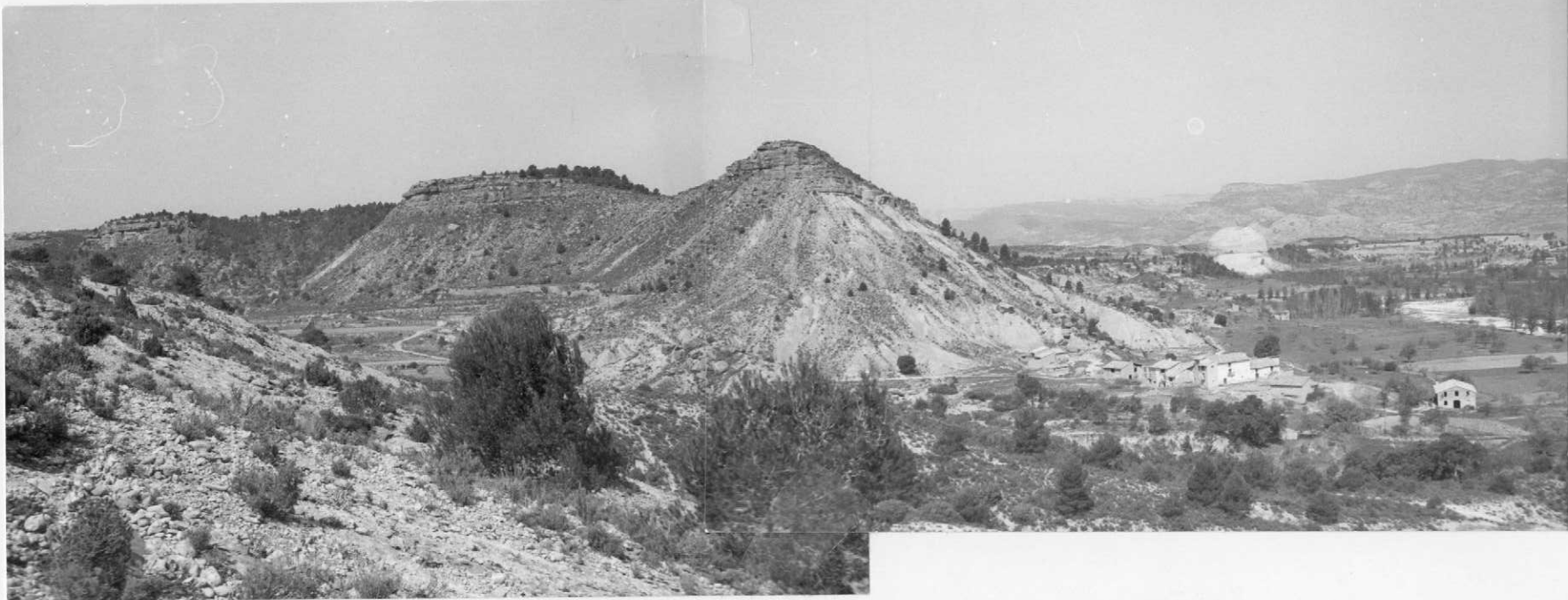
C 23-26

T^A
1



29-20-AD-RP-793.- Aspecto del Miocene, del Pantano.

T^{A-B}
33-1

 $T_{33-1}^{A_3-B}$ T_{33-1}^{A-B}

29-20-AD-RP-794.- En primer término, a la izquierda, conglomerados oligocenos, y al fondo, Mioceno horizontal arcillo-arenoso.



29-20-AD-RP-795.- Anticlinal terciario, de núcleo hauteriviense. C_{13-14}
T A3-B
31-1



29-20-AD-RP-821.- Jurásico, en primer término, a la derecha. En el fondo del valle, Beduliense, y -
encima, y discordante, Terciario. T_{33-1}^{A-B} C_{14-15}^{0-1}



29-20-AD-RP-872.- Caliza arriñonada kimmeridgiense. J_{31-32}



29-20-AD-RP-873.- Caliza dolomítica kimmeridgiense. J₃₄₋₃₂

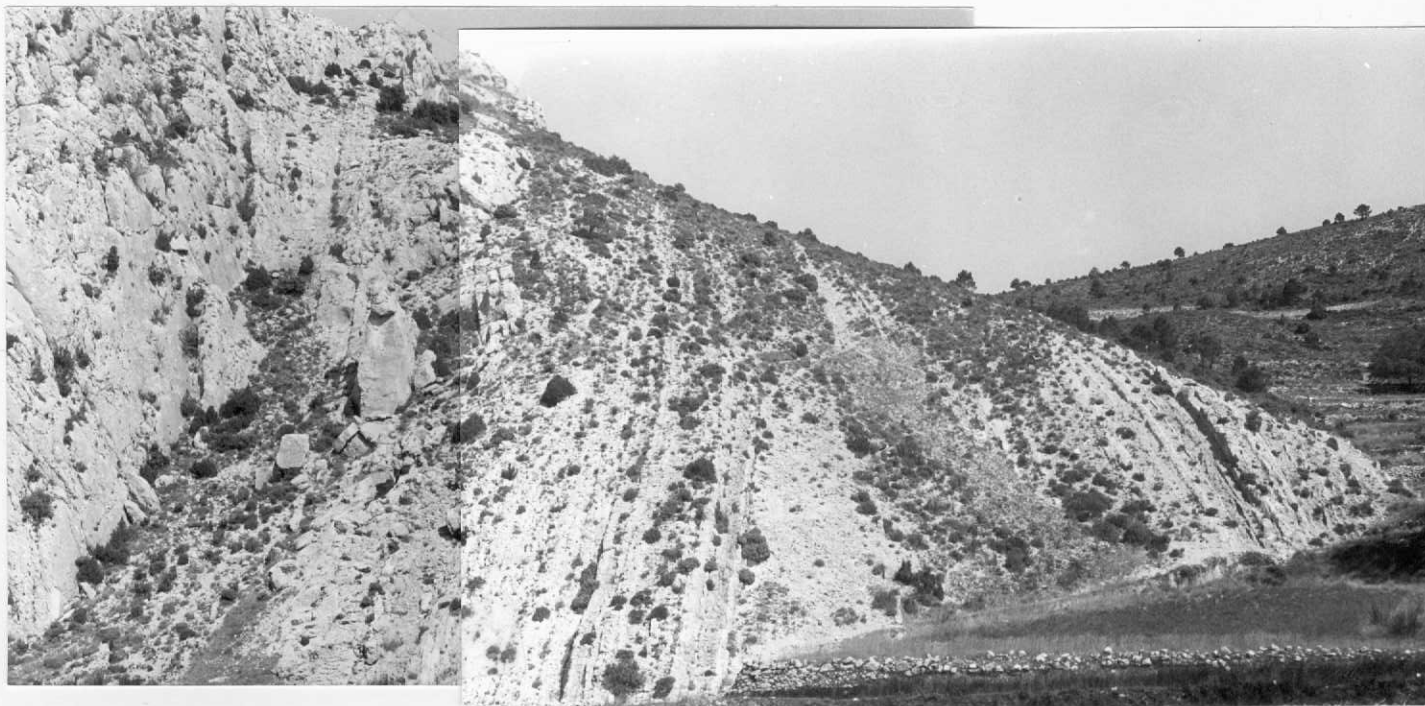


29-20-AD-RP-874.- Caliza kimmeridgiense, ⁷característica de los tra
mos medio e inferior. J31-32



29-20-AD-RP-875.- Dolomías del Kimmeridgiense superior.

J31-32



29-20-AD-RP-876.- Senoniense calcomargoso. C_{23-26}^m



29-20-AD-RP-877.- Senoniente: calizas de Rudistas. C₂₃₋₂₆



29-20-AD-RP-878.- Dolomías del Cenomanense-Turonense. C 21-26



29-20-AD-RP-879.- Calizas y margas del Vraconiense-Cenomanense.

C16-21



29-20-AD-RP-880.- Detalle del Albienense en facies Utrillas. C₁₆

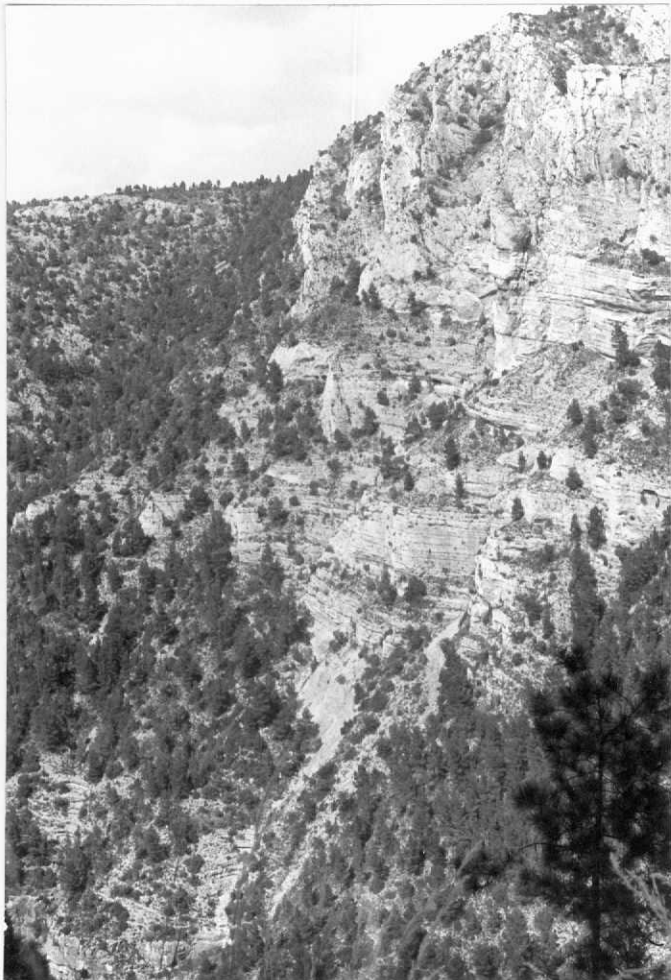


29-20-AD-RP-881.- Anticlinal asimétrico, en Kimmeridgiense, vergente al N, cuyo flanco septentrional cabalga sobre un pequeño núcleo sinclinal en Wealdense. En primer término, a la izquierda, flanco N del sinclinal, en calizas kimmeridgienses.

J₃₁₋₃₂ ↗

C^w₁₃₋₁₄ ↑

J₃₁₋₃₂ ↑

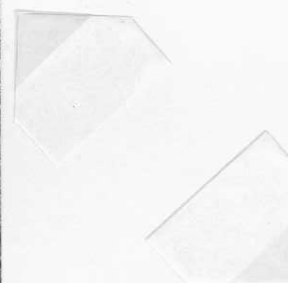


29-20-AD-RP-882.- Serie
Kimmeridgiense en el ba
rranco al NE de María -
Sisca. J₃₁₋₃₂





-20519



29-20-AD-RP-883.- Repliegues en el tramo paleoceno, ^{T1} cabalgado por
el Cretácico superior (al fondo a la izquierda).
C21-26



29-20-AD-RP-884.- Detalle de la serie de arcillas y areniscas del Paleoceno. T^A₁